

مدل‌سازی تغییرات پوشش سرزمین بر پایه شبکه عصبی مصنوعی و پتانسیل انتقال در روش LCM (مورد مطالعه: جنگل‌های گیلان غرب، استان کرمانشاه)

روح‌الله پرما^{*}، رحیم ملک‌نیا^{*}، شعبان شتایی^{*}، حامد تقیوی^{*}

- دانشجوی دکتری، دانشکده کشاورزی و منابع طبیعی، دانشگاه لرستان، خرم‌آباد، ایران
- استادیار، دانشکده کشاورزی و منابع طبیعی، دانشگاه لرستان، خرم‌آباد، ایران
- دانشیار، دانشکده چندگاری، دانشگاه علوم کشاورزی و منابع طبیعی، گرگان، ایران

(تاریخ دریافت: ۱۳۹۵/۰۱/۱۰؛ تاریخ پذیرش: ۱۳۹۵/۱۲/۰۲)

چکیده

مدل‌سازی روند تغییرات پوشش سرزمین در گذر زمان با به کارگیری داده‌های چندماهه در محیط سامانه اطلاعات جغرافیایی می‌تواند یکی از مهم‌ترین عوامل در مدیریت بهینه این تغییرات باشد. به‌منظور مدل‌سازی روند تغییرات پوشش سرزمین و بررسی امکان پیش‌بینی آن در آینده، مدل‌ساز تغییر زمین (LCM) به کار گرفته شد. داده‌های VNIR سنجنده TERRA ASTER با قدرت تکییک مکانی ۱۵ متر مربوط به سه دوره زمانی ۲۰۰۰، ۲۰۰۷ و ۲۰۱۶ در جنگل‌های شهرستان گیلان غرب استان کرمانشاه تجزیه و تحلیل شد. نقشه‌های پوشش سرزمین سال‌های یادشده در چهار طبقه پوشش جنگل، اراضی مرتعی، اراضی کشاورزی و مناطق انسان ساخت برای هر یک از تصاویر با به کارگیری روش حداقل تشبیه استخراج شد. نتایج تجزیه و تحلیل داده‌ها در دوره اول (۲۰۰۷-۲۰۰۰) و دوره دوم (۲۰۱۶-۲۰۰۷) نشان داد پوشش اراضی کشاورزی بیشترین افزایش، و پوشش اراضی مرتعی بیشترین کاهش مساحت را دارند. بر مبنای این تغییرات و با درنظرگرفتن هشت متغیر مستقل مدل رقومی ارتفاع، شبیب، جهت، فاصله از جاده، فاصله از مناطق مسکونی، فاصله از حاشیه جنگل، فاصله از اراضی مرتعی، فاصله از اراضی کشاورزی، مدل‌سازی پتانسیل انتقال سال ۲۰۱۶ به روش شبکه عصبی پرسپترون چندلایه انجام گرفت. سپس، به‌وسیله مدل پیش‌بینی سخت و تصاویر طبقه‌بندی شده دوره اول (۲۰۰۰-۲۰۰۷)، نقشه پوشش سال ۲۰۱۶ با به کارگیری مدل ساز تغییر زمین پیش‌بینی شد. پس از ارزیابی مدل، میزان صحت کلی برابر با ۸۳٪ و ضریب کاپای برابر با ۰.۷۹ به دست آمد که بیان کننده اطمینان زیاد بین نقشه پیش‌بینی شده و نقشه طبقه‌بندی شده است. با وارد کردن نقشه‌های پوشش سرزمین دوره دوم (۲۰۱۶-۲۰۰۷) به مدل ساز تغییر زمین، نقشه پیش‌بینی پوشش سرزمین سال ۲۰۱۵ تهیه شد که نتایج نشان داد ۱۰۴۹.۵۲ هکتار از پوشش جنگل و ۱۶۸۶.۹۲ هکتار از اراضی مرتعی پتانسیل انتقال به اراضی کشاورزی را خواهند داشت.

کلیدواژه‌گان

پتانسیل انتقال، پوشش سرزمین، گیلان غرب، مدل‌سازی، LCM

* نویسنده مسئول، رایانامه: Maleknia.r@lu.ac.ir

مقدمه و بیان مسئله

آثار تغییر پوشش سرزمین بر چرخه آب، کربن و انرژی یکی از مهم‌ترین عوامل در تغییرات محیطی جهان است (Hu & Wengm, 2009, p.2089). کسب اطلاعات دقیق و به روز از این تغییرات و آگاهی از وسعت منابع طبیعی، به ویژه با رشد سریع جمعیت اهمیت زیادی دارد (Yuan et al., 2005, p.318). در دهه‌های اخیر داده‌های ماهواره‌ای به‌طور وسیعی در تهیه اطلاعات پوشش زمین مانند کاهش سطح جنگل‌ها، شدت توسعه اراضی کشاورزی و سایر تغییرات انسان‌ساخت به کار گرفته شده‌اند (شتایی و قنبری، ۱۳۸۹، ص ۲). یکی از روش‌های شناخته‌شده آنالیز داده‌های ماهواره‌ای، روش شبکه عصبی مصنوعی است که معروف‌ترین مدل آن، الگوریتم پرسپترون چندلایه است (Kuplich, 2006, p.2). مدل‌سازی پوشش سرزمین به عنوان یک رویکرد مهم ارزیابی کاهش سطح جنگل‌ها و تنوع زیستی، طیف گسترده‌ای از تحقیقات زیست‌محیطی، اکولوژی و جغرافیا را دربرمی‌گیرد (Prez-Vega et al., 2012, p,1). پیش‌بینی تغییرات، لازمه مراقبت از یک اکوسیستم به ویژه در مناطقی با تغییرات سریع است (Lambin, 1997, p.375; Stephenne & Ambin, 2001, p.154). مدل‌سازی روند تغییرات پوشش سرزمین با به کارگیری داده‌های Baker et al., 2010, p.593 سنجش از دور در محیط GIS می‌تواند راهکارهای مناسبی را ارائه دهد (Verburg et al., 2004, p.3). با توجه به اهمیت سرزمین و گرفتن تصمیم‌های آگاهانه‌تر هستند (Verburg et al., 2004, p.3). با توجه به اهمیت جنگل‌های زاگرس و نیاز ضروری مدیران به آگاهی از کمیت و کیفیت روند تغییرات به منظور برنامه‌ریزی بهینه، باید تحقیقاتی در این زمینه انجام گیرد. بنابراین هدف از این تحقیق مدل‌سازی تغییرات پوشش سرزمین با به کارگیری مدل LCM در فاصله سال‌های ۲۰۰۰ تا ۲۰۱۶ به منظور امکان پیش‌بینی وضعیت پوشش سرزمین سال ۲۰۲۵ در بخشی از حوزه رویشی زاگرس است.

مبانی نظری و پیشینه تحقیق

مدل‌ساز تغییر زمین (LCM)

مدل‌ساز تغییر زمین ابزاری است که به کمک آن می‌توان به ارزیابی و مدل‌سازی تجربی تغییرات کاربری اراضی و آثار آن بر زیستگاه گونه‌ها و تنوع زیستی پرداخت. مدل‌سازی در چهار مرحله بررسی تغییرات، مدل‌سازی پتانسیل انتقال، مدل‌سازی تغییرات پوشش سرزمین و ارزیابی صحت مدل‌سازی انجام می‌گیرد (غلامعلی‌فرد و همکاران، ۱۳۹۳، ص ۱۶۹؛ Pelorosso et al., 2011, p.336). مدل‌ساز تغییر زمین با تجزیه و تحلیل تغییرات رخداده طی یک دوره، نقشه پتانسیل انتقال از یک طبقه به طبقه دیگر را نیز تولید می‌کند (McConnel et al., 2004, p.172). پتانسیل انتقال، میزان احتمال تغییر از یک طبقه به طبقه دیگر را بیان می‌کند. بنابراین، برای مدل‌سازی پتانسیل انتقال هر طبقه در مدل LCM¹، قبل از هر کاری باید زیرمدل‌ها مشخص شوند. زیرمدل‌ها محرك‌های اساسی در تبدیل یک کاربری به کاربری‌های دیگر محسوب می‌شوند (Perez-Vega et al., 2012, p.12). برای انتخاب زیرمدل‌هایی با بیشترین صحت، باید مدل با چند سناریوی مختلف اجرا شود (غلامعلی‌فرد و همکاران، ۱۳۹۳، ص ۶۶). پس از به دست آوردن بیشترین صحت و کمترین خطأ، زیرمدل‌های انتخابی وارد مدل شده و نقشه پتانسیل انتقال تهیه می‌شود. پرسپترون چندلایه در برنامه‌هایی مانند طبقه‌بندی پوشش و کاربری زمین، مدل‌سازی پتانسیل انتقال تغییر کاربری‌ها و مدل‌سازی تخریب جنگل‌ها به کار گرفته می‌شود. زنجیره مارکوف، میزان تغییرات را با به کار گیری نقشه‌های پوشش سرزمین اول و آخر دوره تعیین می‌کند. بنابراین، در این تحقیق برای پیش‌بینی مقادیر کمی تغییرات در برآورد پوشش سرزمین زنجیره مارکوف به کار گرفته شد (Easteman et al., 2009, p.31). به منظور مدل‌سازی روند تغییرات پوشش اراضی مطالعات مختلفی انجام گرفته است. قبری و شتابی (۱۳۸۹) روند تغییرات جنگل‌های حاشیه‌ای جنوب و جنوب غربی گرگان را با الگوریتم شبکه عصبی مصنوعی² بررسی کردند. نتایج بررسی آن‌ها نشان‌دهنده

1. Land Change Modeler

2. Artificial Neural Network (ANN)

تغییر وسیع سطح جنگل به اراضی غیرجنگلی در طی مدت ۴۱ سال بوده است. طاهری و همکاران (۱۳۹۲) در شهرستان تبریز با به کار گیری شبکه عصبی مصنوعی و زنجیره مارکوف^۱ مدل ساز تغییر سرزمین با به کار گرفتن تصاویر سه دوره ۱۳۶۷، ۱۳۸۰ و ۱۳۹۰ ماهواره لندست، نقشه های پوشش سرزمین هر سال را تهیه کردند و با به کار گیری الگوریتم پرسپترون چندلایه^۲ شبکه عصبی مصنوعی و شش متغیر مستقل، نقشه پوشش سرزمین سال های ۱۳۹۵ و ۱۴۰۰ را پیش بینی کردند که نتایج نشان دهنده توسعه سطح شهر تبریز به میزان ۱۰۳۷ و ۲۰۳۳ هکتار طی این دو سال است. و فایی و همکاران (۱۳۹۲) در منطقه مریوان داده های سنجنده های TM و ETM+ مربوط به سه دوره زمانی ۱۳۶۸، ۱۳۷۹ و ۱۳۹۰ به کار گرفتند. صحت کلی و ضریب کاپا نقشه پیش بینی شده نشان دهنده ناهمخوانی مکان تغییرات واقعی و پیش بینی شده مدل در منطقه است. عزیزی قلاتی و همکاران (۱۳۹۳) از تصاویر ماهواره لندست سه دوره زمانی ۱۳۶۶، ۱۳۷۹ و ۱۳۹۱ برای مدل سازی تغییرات کاربری اراضی در کوه های سرخی استان فارس روش رگرسیون لجستیک در مدل LCM را به کار گرفتند که نتایج نشان دهنده بیشترین کاهش مساحت برای طبقه جنگل به میزان ۳۰۸۲،۰۵ هکتار بود. خوی و مورایاما (۲۰۱۱) مدل LCM و شبکه عصبی مصنوعی برای مدل سازی تغییرات جنگل را در پارک ملی «تام داو» به کار گرفتند و بدین منظور از تصاویر ماهواره ای مربوط به سال های ۱۹۹۳، ۲۰۰۰ و ۲۰۰۷ به عنوان ورودی مدل، آشکار سازی و پیش بینی تغییرات سطح جنگل برای سال های ۲۰۱۴ و ۲۰۲۱ به ۲۰۲۱ به ترتیب، در کاهش سطح جنگل از ۱۸،۰۳ درصد در سال ۲۰۰۷ به ۱۰ و ۱۲،۶۶ درصد به ترتیب، در سال های ۲۰۱۴ و ۲۰۲۱ است (Khoi & Murayama). پرز - و گا و همکاران (۲۰۱۱) مدل LCM را به منظور مدل سازی تخریب و احیای جنگل های پهنه برگ مکریک به کار گرفتند که صحت کلی ۵۲،۲، ۳۵،۲ و ۵۹،۶ درصد به ترتیب، برای زیر مدل های احیا، جنگل زدایی و اختلال را به دست آور دند (Perez-Vega et al., 2011). رضوی (۲۰۱۴) در پیش بینی روند تغییرات کاربری زمین سال

1. Markov Chain

2. Multi Layer Perceptron (MLP)

۲۰۲۵ شهر کرمانشاه تصاویر ماهواره‌ای لندست مربوط به سال‌های ۱۹۸۷، ۲۰۰۰ و ۲۰۰۶ و مدل شبکه عصبی و زنجیره مارکوف به کار گرفت. نتایج بررسی او نشان داد طی دو دوره ۱۹۸۷-۲۰۰۰ و ۲۰۰۰-۲۰۰۶ طبقات پوشش جنگلی، اراضی مرتعی، باغات و فضای سبز روند کاهشی، اما مناطق انسان‌ساخت و اراضی کشاورزی روند افزایشی داشته است و طبق مدل پیش‌بینی طی دوره ۲۰۰۶-۲۰۲۵ ۵۳,۳۸، ۲۰۰۶ درصد از اراضی مرتعی و ۲۷,۳ درصد از فضای سبز به مناطق انسان‌ساخت تبدیل می‌شود. کورانتنگ و نایذویکی (Koranteng & Niedzwiecki, 2015) با به کارگیری تحلیل زنجیره مارکوف به این نتیجه رسیدند که مناطق انسان‌ساخت و اراضی کشاورزی افزایش اما پوشش جنگلی (از ۵۰ درصد به ۱۰ درصد) کاهش یافته است (Koranteng & Niedzwiecki, 2015). مگاهد و همکاران (Megahed et al., 2015) در تحلیل نقشه پوشش سرزمین و مدل‌سازی رشد شهرسازی مربوط به سال‌های ۱۹۸۴، ۲۰۰۳ و ۲۰۱۴ در منطقه کایرو مصر روش LCM را برای پیش‌بینی پوشش سرزمین سال ۲۰۲۵ به کار گرفتند که نتایج این تحقیق نشان داد ۱۴ درصد از پوشش گیاهی و ۴ درصد از اراضی بیابانی تبدیل به مناطق شهری می‌شود.

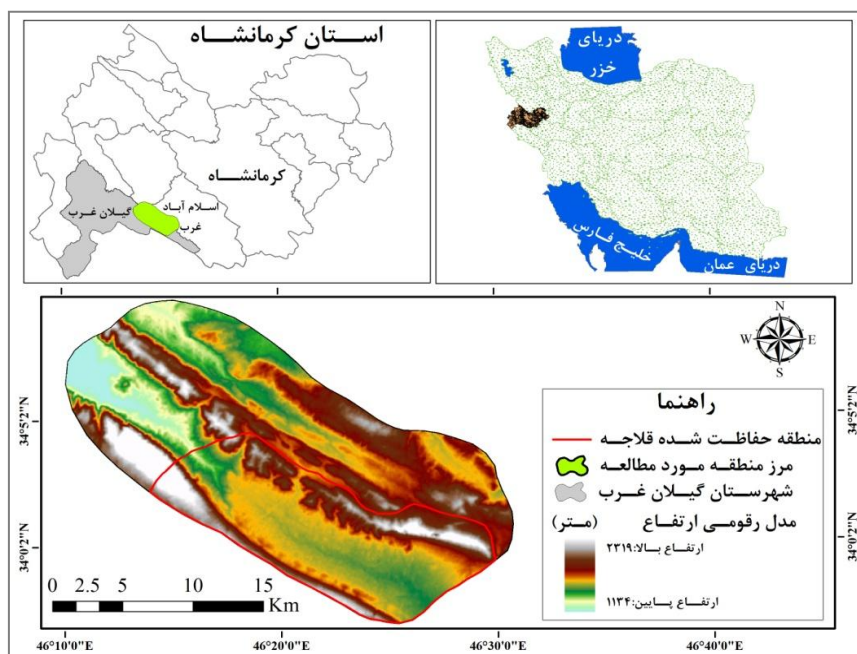
روش تحقیق

منطقه مورد مطالعه

منطقه مورد مطالعه با مساحتی بالغ بر ۴۰۹۶۸ هکتار در طول جغرافیایی "۱۶°۹۸'۵۱" تا "۲۳°۴۶'۰" و عرض جغرافیایی "۳۳°۳۴'۰ تا "۳۴°۶۴'۰ شمالی و با دامنه ارتفاعی ۲۳۱۹-۱۱۳۴ متری از سطح دریا در بخش گواور شهرستان گیلان غرب استان کرمانشاه قرار دارد (شکل ۱). اقلیم منطقه براساس نمودار تعیین اقلیم دمارتی با توجه به میانگین بارش سالیانه ۵۱۶,۷ میلیمتر و دمای متوسط ۱۲,۸ درجه سانتیگراد، سرد و نیمه‌مرطوب است (فتاحی، ۱۳۸۴). درختان بلوط در قسمت اعظم منطقه مورد مطالعه جنگلهای شاخه و دانه‌زad را تشکیل داده است. از سایر درختان و درختچه‌های موجود در محدوده مورد مطالعه را می‌توان به پسته و حشی (بنه)، کیکم، زالزالک، ارزن، انجیر، پلاخور و آبالو وحشی اشاره کرد (زهروندي، ۱۳۸۲).

داده‌های ماهواره‌ای

در این تحقیق داده‌های VNIR سنجنده ASTER ماهواره TERRA با تفکیک مکانی ۱۵ متر مربوط به سه دوره زمانی ۲۰۰۰، ۲۰۰۷ و ۲۰۱۶ به کار گرفته شد. داده‌ها با سطح تصویح‌های L1T (شامل تصویح رادیومتری در سطح سیستماتیک، تصویح هندسی با استفاده از نقاط کنترل زمینی و همچنین، تصویح خطای جایه‌جایی ناشی از توپوگرافی) از سایت مربوطه^۱ دریافت شد. نقشه توپوگرافی ۱:۲۵۰۰۰ منطقه برای کنترل تصویح هندسی تصاویر ماهواره‌ای، تهیه مدل رقومی زمین، نقشه شب، نقشه جهت و استخراج لایه راه‌ها از سازمان جغرافیایی نیروهای مسلح تهیه شد.

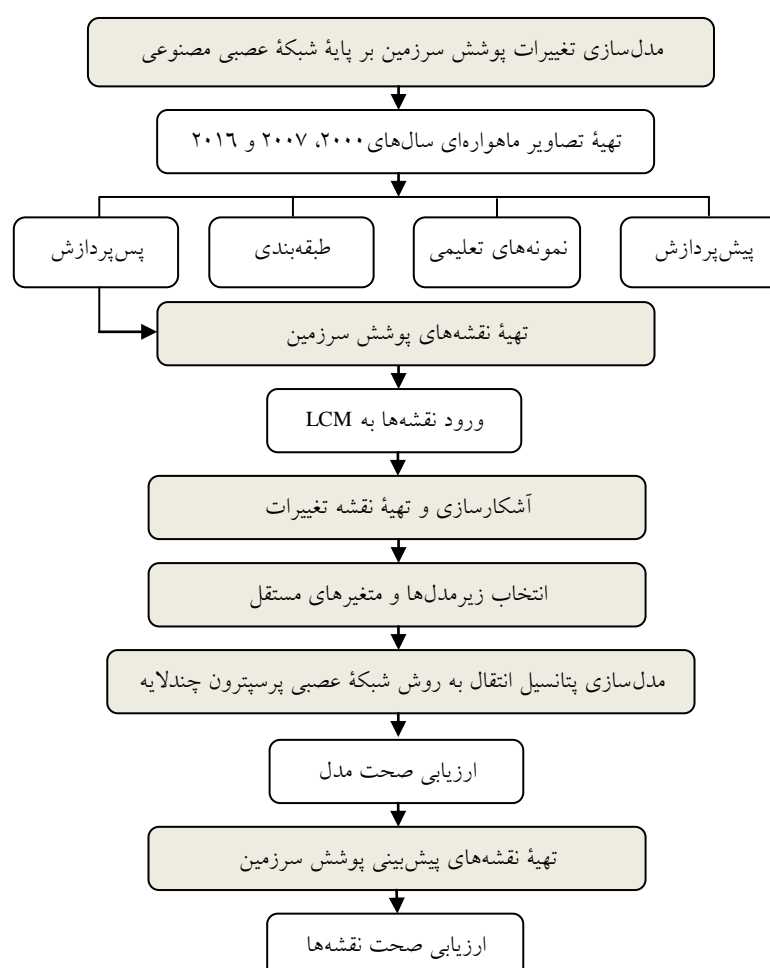


شکل ۱. موقعیت منطقه مورد مطالعه در ایران و استان کرمانشاه

1. Visible and Near- Infrared
2. www.earthexplorer.usgs.gov

مراحل تحقیق

مراحل کلی انجام دادن این تحقیق پس از تهیه تصاویر و عملیات پیش‌پردازش، پردازش و پس‌پردازش به ترتیب، شامل تهیه نقشه‌های پوشش سرزمین، آشکارسازی و تهیه نقشه تغییرات، انتخاب زیرمدل‌ها و متغیرهای مستقل، مدل‌سازی پتانسیل تغییرات به روش شبکه عصبی پرسپترون چندلایه و تهیه نقشه‌های پیش‌بینی پوشش سرزمین است (شکل ۲).



شکل ۲. فلوچارت فرایند مدل‌سازی تغییرات پوشش سرزمین

بررسی کیفیت رادیومتری و هندسی داده‌ها

با اینکه داده‌های ASTER در سطح تصویح‌های L1T دریافت شد، به منظور اطمینان از خطانکردن، کیفیت داده‌ها به لحاظ وجود خطاهای رادیومتری از قبیل خطای مربوط به رامراشدگی، زیرهم‌قرارنگرفتن دسته‌های خطوط اسکن و پیکسل‌های تکراری از طریق هیستوگرام آن‌ها بررسی شد که تصاویر مورد نظر فاقد هر گونه خطای رادیومتری بود. همچنین، با انطباق لایه‌برداری جاده روی تصاویر، از صحت تصویح‌های هندسی اطمینان حاصل شد.

تهیه نقشه‌های پوشش سرزمین

با توجه به نبود نقشه پوشش سرزمین دقیق در منطقه مورد مطالعه و از طرفی، قابلیت تصاویر ماهواره‌ای ASTER در استخراج اطلاعات مفید، از بین روش‌های مختلف تفسیر و طبقه‌بندی تصاویر، روش تلفیقی که نوعی تفسیر چشمی داده‌های رقومی بر روی صفحه رایانه و متکی بر شناخت مفسر است، انتخاب شد (درویش‌صفت، ۱۳۷۷). با شناخت منطقه مورد مطالعه و به کارگیری نقشه‌های توپوگرافی ۱:۲۵۰۰۰ سازمان نقشه‌برداری، بررسی‌های میدانی، اخذ نقاط کنترل زمینی^۱ و تصاویر گوگل ارث، چهار طبقه پوشش جنگل، اراضی مرتعی، اراضی کشاورزی و مناطق انسان‌ساخت استخراج و سپس، نقشه واقعیت زمینی سال ۲۰۱۶ تهیه شد. پس از انجام دادن مراحل پیش‌پردازش، تصاویر ماهواره‌ای ASTER مربوط به سال ۲۰۱۶ تجزیه و تحلیل شد. عملیات پردازش و بارزسازی‌های تصاویر، شامل ایجاد ترکیب‌های رنگی مناسب و نسبت‌گیری‌های طیفی انجام گرفت. با توجه به تفکیک‌پذیری نامناسب باندهای مصنوعی در محل نمونه‌های تعلیمی، باندهای اصلی VNIR به کار گرفته شد. تعداد ۲۵۰ نمونه از طبقه پوشش جنگلی، ۱۵۰ نمونه از طبقه اراضی مرتعی، ۲۳۰ نمونه از طبقه کشاورزی و ۷۰ نمونه از مناطق انسان‌ساخت تعیین شد. انتخاب نمونه‌های تعلیمی (۶۳ نمونه از طبقه پوشش جنگلی، ۳۸ نمونه از طبقه اراضی مرتعی، ۵۸ نمونه از طبقه کشاورزی و ۱۸ نمونه از مناطق انسان‌ساخت) به‌طور تصادفی (به تناسب سهم هر

1. Ground Control Points

طبقه) با بررسی‌های میدانی، تصاویر گوگل ارث و تصاویر رنگی مرکب انجام گرفت (آرخی و فتحی‌زاد، ۱۳۹۳، ص ۱۳۸). با توجه به اینکه الگوریتم حداکثر تشابه به عنوان یکی از دقیق‌ترین روش‌های متداول طبقه‌بندی پیکسل‌پایه مطرح است (پرما و شتایی، ۱۳۸۹، ص ۲۳۱). بنابراین، این الگوریتم به منظور طبقه‌بندی داده‌ها به کار گرفته، و نقشه پوشش سرزمین سال ۲۰۱۶ تهیه شد. از آنجا که اعتبار هر نقشه تهیه‌شده از تصاویر ماهواره‌ای به میزان صحت آن بستگی دارد، ارزیابی صحت روی نقشه پوشش سرزمین سال ۲۰۱۶ انجام گرفت و میزان صحت کلی و ضریب کاپا محاسبه شد. به منظور به دست آوردن تصویر با وضوح مطلوب و حذف پیکسل‌های منفرد در تصویر طبقه‌بندی‌شده، فیلتر مدل^۱ با اندازه کرنل 5×5 به کار گرفته شد (آرخی و فتحی‌زاد، ۱۳۹۳، ص ۱۳۹؛ Nahuelhual et al., 2012, p.15). برای تهیه نقشه پوشش سرزمین سال ۲۰۰۷، نقشه طبقه‌بندی‌شده سال ۲۰۱۶ به کار گرفته شد. برای این کار نقشه سال ۲۰۱۶ بر روی تصاویر رنگی و باندهای مختلف ایجاد شده در سال ۲۰۰۷ قرار گرفته و در صورت مشاهده هر گونه تغییر در طبقات مختلف، تصحیح شد. این فرایند برای تهیه نقشه سال ۲۰۰۰ نیز تکرار شد.

آشکارسازی تغییرات در مدل LCM

مدل LCM به دو نقشه پوشش سرزمین اول و آخر دوره به عنوان ورودی نیاز دارد (Kim et al., 2010, p.15). بنابراین، ابتدا نقشه‌های پوشش سرزمین تهیه‌شده در دوره اول (۲۰۰۰-۲۰۰۷) وارد مدل LCM موجود در نرم‌افزار TerrSet شد. در بخش آنالیز تغییرات^۲، افزایش و کاهش هر طبقه، تغییرات خالص^۳ به صورت نمودار و در بخش نقشه‌های تغییرات^۴، نقشه مناطق بدون تغییر^۵ (پایدار) و انتقال^۶ از هر طبقه به طبقات مختلف پوشش سرزمین تهیه و تجزیه و تحلیل شد

-
- 1. Mode
 - 2. Change Analysis
 - 3. Gain and Losses
 - 4. Net Change
 - 5. Change Maps
 - 6. Persistence
 - 7. Transition

(Vaclavik & Rogan, 2009, p.56). این فرایند برای دوره دوم (۲۰۰۷-۲۰۱۶) تکرار و نمودارها و نقشه‌های مربوط تهیه شد.

مدل‌سازی پتانسیل انتقال و انتخاب زیرمدل

پس از آشکارسازی تغییرات در بخش پتانسیل انتقال^۱، میزان پتانسیل انتقال یک طبقه به طبقه دیگر با توجه به زیرمدل‌ها و متغیرهای مستقل، مدل می‌شود. برای انتخاب زیرمدل‌هایی که بیشترین صحت را داشته باشند، باید مدل با سناریوهای مختلف اجرا شد (Perez-Vega et al., 2011, p.14). در نهایت، پنج زیرمدل پوشش جنگلی به اراضی مرتعی، پوشش جنگلی به اراضی کشاورزی، پوشش جنگلی به مناطق انسان‌ساخت، اراضی مرتعی به اراضی کشاورزی، اراضی مرتعی به مناطق انسان‌ساخت که بیشترین صحت را داشتند، انتخاب شد. پس از انتخاب زیرمدل‌ها و متغیرهای مستقل مناسب، مدل‌سازی احتمال وقوع هر انتقال از یک طبقه به طبقه دیگر از طریق شبکه عصبی پرسپترون چندلایه انجام گرفت (Pijanowski et al., 2002, p.559). هشت متغیر مستقل مدل رقومی ارتفاع، نقشه‌شیب، نقشه جهت، فاصله از جاده، فاصله از مناطق مسکونی، فاصله از مناطق جنگلی، فاصله از اراضی مرتعی، و فاصله از اراضی کشاورزی انتخاب شدند و پس از بررسی ضریب همبستگی کرامر آن‌ها، متغیرهایی که ضریب بالاتر از ۰/۱ دارند، وارد مدل (پورخیاز و همکاران، ۱۳۹۴، ص ۱۹۷؛ عزیزی‌قلاتی و همکاران، ۱۳۹۳، ص ۵۹۱) و متغیرهایی با ضریب همبستگی کرامر کمتر از ۰/۱ (نقشه‌های شیب و جهت) حذف شدند.

انتخاب متغیرهای مستقل

با به کارگیری نقشه توپوگرافی ۱:۲۵۰۰۰ منطقه مورد مطالعه، نقشه‌های مدل رقومی ارتفاع (با دقت ۱۰ متر)، شیب و جهت در محیط نرم‌افزار ArcGIS10.3 تهیه شد. برای استخراج نقشه‌های فاصله از جاده، فاصله از مناطق مسکونی، فاصله از حاشیه جنگل، فاصله از اراضی مرتعی، فاصله از

1. Transition potentials

اراضی کشاورزی، تابع فاصله اقلیدسی^۱ به کار گرفته شد. نقشه‌های به دست آمده به منظور تجزیه و تحلیل مکانی به ساختار رستری با اندازه پیکسل ۱۵ متر تبدیل شدند.

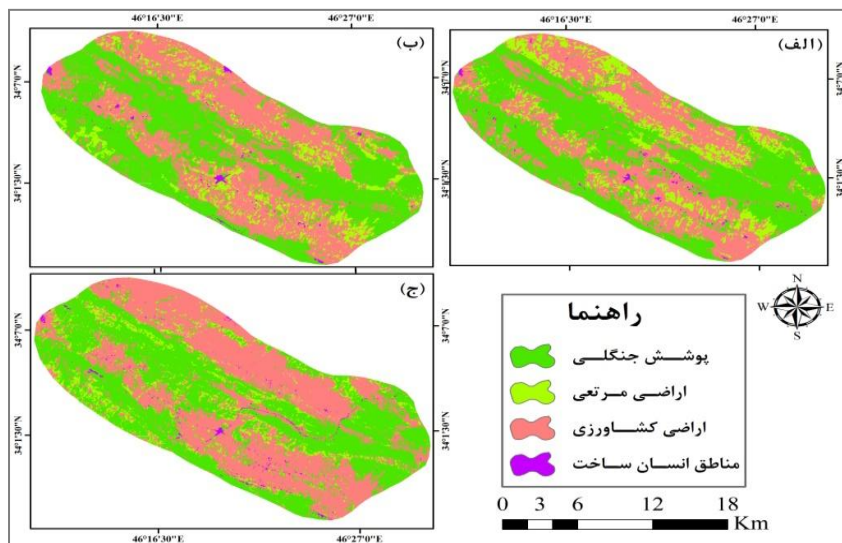
نقشه پیش‌بینی تغییرات پوشش سرزمین و ارزیابی صحت مدل

در بخش پیش‌بینی تغییرات^۲ مدل LCM، با روش زنجیره مارکوف، میزان احتمال انتقال از یک طبقه به طبقات دیگر محاسبه می‌شود. سپس، به وسیله مدل پیش‌بینی سخت^۳ (که در آن سطح هر پیکسل به یک کاربری خاص اختصاص می‌یابد) نقشه آخر دوره بر مبنای تغییرات رخداده در طول دوره، پیش‌بینی شده و به عنوان پایه مدل‌سازی تغییرات پوشش سرزمین در آینده به کار گرفته می‌شود (Easteman, 2009, p.6). بنابراین، به منظور پیش‌بینی نقشه تغییرات پوشش سرزمین سال ۲۰۱۶، نقشه سال‌های ۲۰۰۰ و ۲۰۰۷ به کار گرفته شد. پس از تهیه نقشه پیش‌بینی پوشش سرزمین سال ۲۰۱۶ و مقایسه آن با نقشه طبقه‌بندی پوشش سرزمین سال ۲۰۱۶، در زیربخش ارزیابی^۴ مدل LCM، شاخص توافق کاپا (KIA) محاسبه شد. شاخص توافق کاپا (KIA) عموماً برای تعیین ارزیابی صحت، اعتبار مدل و تغییر به کار گرفته می‌شود. مهم‌ترین انواع کاپا، کاپای استاندارد^۵، کاپا برای مکان^۶، کاپا برای کمیت^۷ و کاپا برای نبود اطلاعات^۸ هستند. روش کاپای استاندارد، صحت نسبی مشاهده شده به صحت نسبی موردنظر را براساس شانس مقایسه می‌کند. به این ترتیب، درستی کل که به درصد نیز بیان می‌شود، میزان توافق و همخوانی دو تصویر را نشان می‌دهد. کاپای استاندارد برای بررسی صحت مدل‌سازی به کار گرفته شد (غلامعلی‌فرد و همکاران، ۱۳۹۳، ص ۷۰). سپس، نقشه پوشش سرزمین سال ۲۰۲۵ با وارد کردن نقشه سال‌های ۲۰۰۷ و ۲۰۱۶ به مدل‌ساز تغییر زمین پیش‌بینی شد.

-
1. Euclidean distance
 2. Change prediction
 3. Hard prediction
 4. Validation
 5. Kstandard
 6. K location
 7. K location Strata
 8. Kno

یافته‌های تحقیق طبقه‌بندی تصاویر

پس از انجام دادن عملیات پیش‌پردازش، پردازش و پس‌پردازش روی داده‌های ماهواره‌ای ۲۰۰۰، ۲۰۰۷ و ۲۰۱۶، نقشهٔ پوشش سرزمین به روش حداقل تشابه با صحت کلی و ضریب کاپای به ترتیب، ۹۰ درصد و ۸۸، ۰٪ درصد و ۹۱، ۰٪ درصد و ۷۸٪ به دست آمد (شکل ۳).



شکل ۳. نقشهٔ پوشش سرزمین سال‌های ۲۰۰۰ (الف)، ۲۰۰۷ (ب) و ۲۰۱۶ (ج)

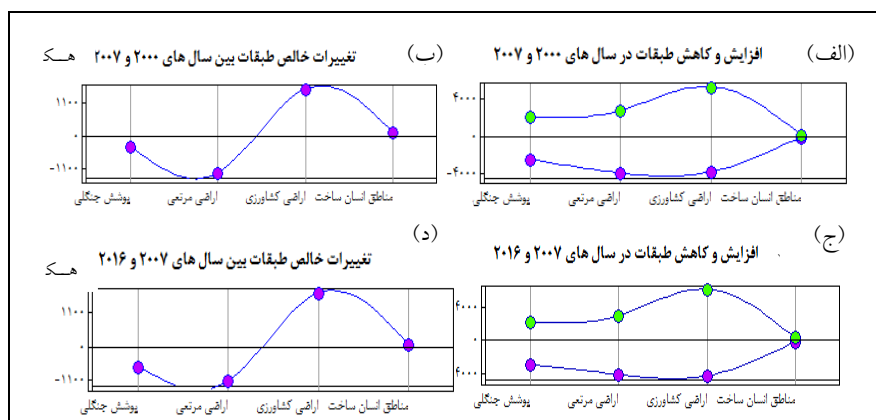
مطابق با این نقشه‌ها، بیشترین تخریب مربوط به پوشش مرتعی و سپس، پوشش جنگلی است و در دوره زمانی ۲۰۰۷ - ۲۰۰۰، طبقات پوشش جنگلی و اراضی مرتعی به ترتیب، ۱۳، ۰۰۰ هکتار کاهش و طبقات اراضی کشاورزی و مناطق انسان‌ساخت به ترتیب، ۳، ۱۵۸۹، ۲ و ۹۳، ۰۳ هکتار افزایش داشته است. همچنین، طی دوره زمانی ۲۰۱۶ - ۲۰۰۷، طبقات پوشش جنگلی و اراضی مرتعی به ترتیب، ۳۵، ۰۵ و ۶۳، ۱۱۳۰ هکتار کاهش و طبقات اراضی کشاورزی و مناطق انسان‌ساخت به ترتیب، ۳۱، ۷۸، ۶۷ و ۷۸، ۱۷۵۷ هکتار افزایش داشته است (جدول ۱).

جدول ۱. مساحت پوشش سرزمین طی سال‌های ۲۰۰۷، ۲۰۰۰ و ۲۰۱۶

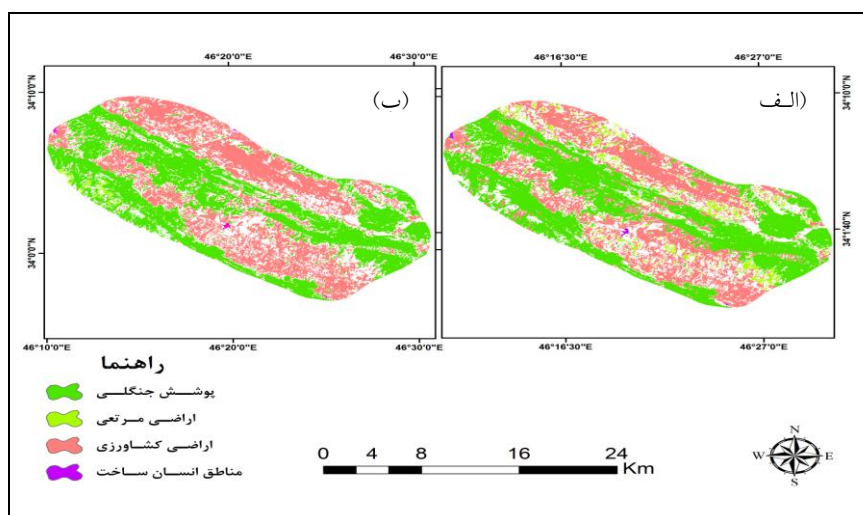
سال	پوشش جنگلی	اراضی مرتعی	اراضی کشاورزی	مناطق انسان‌ساخت
۱۹۳,۵۲	۱۵۶۵۲,۳۹	۵۶۸۳,۴۵	۱۹۴۳۸,۰۱	۲۰۰۰
۲۸۶,۵۵	۱۷۲۴۱,۶۹	۴۴۰۲,۲۵	۱۹۰۳۷,۸۸	۲۰۰۷
۳۶۵,۲۲	۱۸۹۹۹	۳۲۷۱,۶۲	۱۸۳۳۲,۵۳	۲۰۱۶

آشکارسازی تغییرات

ابتدا نقشه‌های پوشش سرزمین تهیه شده در دوره اول (۲۰۰۰-۲۰۰۷) به عنوان نقشه‌های اول و آخر دوره وارد مدل LCM شد. در بخش آنالیز تغییرات، میزان افزایش و کاهش هر طبقه به هکتار (شکل ۴-الف) و تغییرات خالص هر طبقه به هکتار (شکل ۴-ب) که برآیندی از افزایش و کاهش هر طبقه محاسبه می‌شود، به صورت نمودار سه‌بعدی تهیه شد. سپس، در بخش نقشه‌های تغییرات، نقشه مناطق بدون تغییر (پایدار) و نقشه انتقال (شکل ۶) پوشش سرزمین به دست آمد (شکل ۵-الف). سپس، با ورود نقشه‌های پوشش سرزمین تهیه شده در دوره دوم (۲۰۰۷ و ۲۰۱۶) به عنوان نقشه‌های اول و آخر دوره به مدل LCM این فرایند تکرار شد و میزان افزایش و کاهش هر طبقه (شکل ۴-ج)، تغییرات خالص هر طبقه (شکل ۴-د) به صورت نمودار سه‌بعدی و نقشه مناطق بدون تغییر (پایدار) پوشش سرزمین به صورت نقشه به دست آمد (شکل ۵-ب).



شکل ۴. نمودار سه‌بعدی افزایش و کاهش و تغییرات خالص دوره‌های اول و دوم



شکل ۵. نقشه مناطق بدون تغییر (پایدار) دوره‌های اول (الف) و دوم (ب)

مدل‌سازی پتانسیل انتقال و صحت‌سنگی مدل

پس از آشکارسازی تغییرات، میزان ضریب همبستگی کرامر متغیرهای مستقل برای وارد کردن به مدل محاسبه شد (جدول ۲).

جدول ۲. ضریب همبستگی کرامر متغیرهای مستقل

ضریب کرامر	ارتفاع	متغیر مستقل	ردیف
ضریب کرامر	ارتفاع	متغیر مستقل	ردیف
۰,۲۳	۰,۰۸	جهت جاده	۱
۰,۱۰	۰,۱۰	منطقه مسکونی	۲
۰,۱۲	۰,۱۲	منطقه جنگلی	۳
۰,۱۸	۰,۱۸	منطقه مرتعی	۴
۰,۱۹	۰,۱۹	منطقه اراضی کشاورزی	۵
۰,۱۶	۰,۱۶	منطقه اراضی اراضی	۶
۰,۰۸	۰,۰۸	نقشه شبیه ن نقشه جهت	۷
۰,۰۸	۰,۰۸	ردیف	۸

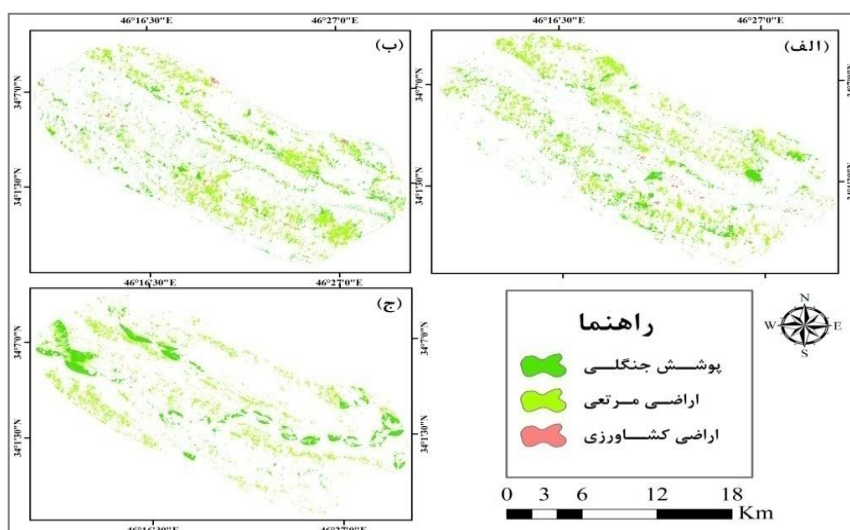
با توجه به اینکه عمدۀ مناطق دارای پتانسیل انتقال به طبقات دیگر، مربوط به انتقال طبقات پوشش جنگل و اراضی مرتعی به طبقه اراضی کشاورزی است، نقشه پتانسیل انتقال طبقه اراضی کشاورزی طی دورۀ اول (۲۰۰۷-۲۰۱۶)، دورۀ دوم (۲۰۰۰-۲۰۰۷) و پیش‌بینی پتانسیل انتقال دورۀ سوم (۲۰۱۶-۲۰۲۵) تهیه شد که این نقشه‌ها موقعیت مکانی انتقال طبقات در سه دوره را نشان

می‌دهد (شکل ۶). پس از صحت‌سنگی مدل، خطای آموزش و خطای آزمون برای دوره‌های اول و دوم به‌دست آمد (جدول ۳).

جدول ۳. صحت‌سنگی مدل در دوره‌های اول و دوم

دوره	صحت کلی (درصد)	خطای آموزش	خطای تست	صحت
۲۰۰۰-۲۰۰۷	۸۳,۰۹	۰,۴۰۳۶	۰,۳۹۳۱	
۲۰۰۷-۲۰۱۶	۷۱,۱۰	۰,۲۴۹۲	۰,۲۴۹۵	

مطابق با نقشهٔ پیش‌بینی پتانسیل انتقال دوره سوم، ۱۰۲۹,۵۲ هکتار از پوشش جنگل و ۱۶۸۶,۹۲ هکتار از اراضی مرتعی پتانسیل انتقال به اراضی کشاورزی را خواهند داشت.

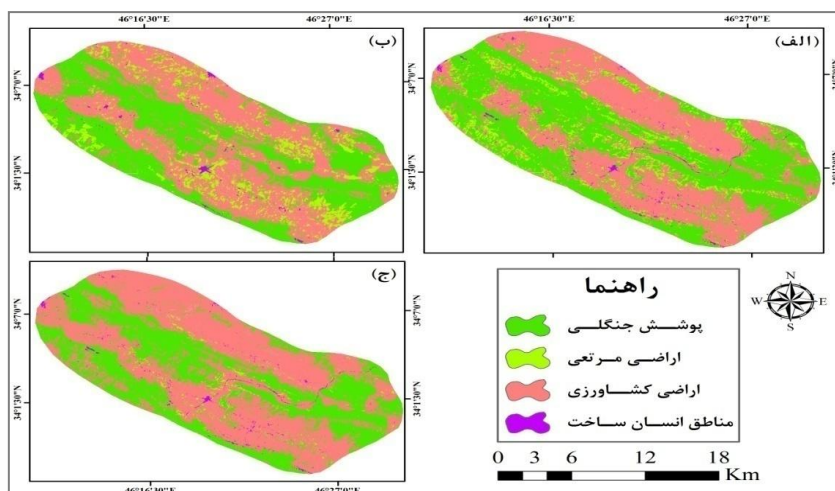


شکل ۶. نقشهٔ پتانسیل انتقال طبقه اراضی کشاورزی دوره اول (الف)، دوره دوم (ب) و دوره سوم (ج)

نقشهٔ پیش‌بینی پوشش سرزمین

با توجه به تغییرات رخداده و احتمال انتقال از یک طبقه به طبقه دیگر در دوره اول (۲۰۰۰-۲۰۰۷)، نقشهٔ پیش‌بینی پوشش سرزمین سال ۲۰۱۶ تهیه شد (شکل ۷-ب). در نقشهٔ پیش‌بینی سال ۲۰۱۶ مساحت چهار طبقهٔ پوشش جنگلی، اراضی مرتعی، اراضی کشاورزی و مناطق

انسان ساخت به ترتیب، ۱۶۷۳۷/۴۲، ۱۶۷۳۶، ۱۶۷۳۵/۱۱، ۴۳۲۹/۳۶ و ۲۸۶/۴۸ هکتار است. با توجه به صحت مناسب برخی زیر مدل‌ها (انتقال پوشش جنگلی به اراضی کشاورزی، انتقال اراضی مرتعی به اراضی کشاورزی) در اجرای مدل، با وارد کردن نقشه‌های دوره دوم (سال‌های ۲۰۰۷ و ۲۰۱۶) نقشهٔ پیش‌بینی پوشش سرزمین سال ۲۰۲۵ تهیه شد (شکل ۷-ج). در نقشهٔ پیش‌بینی سال ۲۰۲۵ نیز مساحت چهار طبقهٔ پوشش جنگلی، اراضی مرتعی، اراضی کشاورزی و مناطق انسان ساخت به ترتیب، ۱۶۳۰۳/۴۷، ۱۶۳۰۳/۳۶، ۵۴۴/۳۲ و ۲۳۷۱۵/۳۶ هکتار است.



شکل ۷. نقشهٔ پوشش سرزمین سال ۲۰۱۶ (الف)، نقشهٔ پیش‌بینی سال‌های ۲۰۱۶ (ب) و ۲۰۲۵ (ج)

ارزیابی صحت مدل

نتایج ارزیابی مدل با به کارگیری نقشهٔ پوشش سرزمین سال ۲۰۱۶ مورد ارزیابی صحت قرار گرفت که شاخص توافق کاپا (KIA) به کار گرفته شد. بنابراین، نقشهٔ مدل‌سازی شده سال ۲۰۱۶ با تصویر طبقه‌بندی شده آن مقایسه شد و نتایج ارزیابی مدل، نشان‌دهنده کاپای استاندارد ۰/۷۹ است (جدول ۴).

جدول ۴. ارزیابی صحت نقشهٔ مدل‌سازی شده سال ۲۰۱۶

کاپای استاندارد	کاپا برای مکان	کاپا برای کمیت	کاپا برای نبود اطلاعات
۰/۸۲	۰/۸۳	۰/۸۳	۰/۷۹

بحث و نتیجه

در این تحقیق روش شبکه عصبی مصنوعی به دلیل داشتن مزایایی مانند توانایی مدل‌سازی روابط غیرخطی و قبول الگوهای پیچیده موجود در پایگاه داده‌ها به کار گرفته شد و در واقع، یک مدل تجربی بین متغیر وابسته (میزان تغییرات پوشش سرزمین) و متغیرهای مستقل (توضیح‌دهنده تغییرات) محسوب می‌شود. با توجه به تنوع و توسعه مدل‌های شبکه عصبی، روش پرسپترون چندلایه به طور وسیع به کار گرفته می‌شود (Hu & Weng, 2009, p.2090). متغیرهای مستقل مورد استفاده در این تحقیق نقشه‌های مدل رقومی ارتفاع، فاصله از جاده، فاصله از روستا، فاصله از پوشش جنگلی، فاصله از اراضی مرتعی، فاصله از اراضی کشاورزی، شبب، و جهت هستند که در تحقیقات وفايي و همكاران (۱۳۹۱)، طاهری و همكاران (۱۳۹۲)، غلامعلی‌فرد و همكاران (۱۳۹۳)، و اسکولز و همكاران (۲۰۱۰) نیز به کار گرفته شده و بر اهمیت این عوامل در مدل‌سازی تغییرات پوشش سرزمین تأکید شده است.

مطابق با نتایج این تحقیق، نقشه‌های پوشش سرزمین سه دوره نشان‌دهنده تغییر سطح همه کاربری‌ها است، اما ترتیب این تغییرات از بیشتر به کمتر مربوط به طبقات اراضی کشاورزی، اراضی مرتعی، پوشش جنگلی و مناطق انسان‌ساخت است. به‌طوری که طی دوره اول (۲۰۰۷-۲۰۱۶) و دوم (۲۰۰۷-۲۰۱۶) طبقه اراضی کشاورزی بیشترین افزایش سطح به‌ترتیب، برابر با ۱۵۸۹,۳ و ۱۷۵۷,۳۱ هکتار را دارد و مدل‌ساز تغییر زمین برای دوره سوم (۲۰۱۶-۲۰۲۵) میزان این افزایش سطح را ۲۷۱۶,۴۴ هکتار (۱۰۲۹,۵۲ هکتار از تبدیل پوشش جنگل و ۱۶۸۶,۹۲ هکتار از تبدیل اراضی مرتعی به اراضی کشاورزی) پیش‌بینی کرده است. نتایج تحقیق غلامعلی‌فرد و همکاران (۱۳۹۳) و کورانتنگ و نایزویکی (۲۰۱۵) نیز نشان‌دهنده بیشترین افزایش سطح برای طبقه اراضی کشاورزی است. طبقه اراضی مرتعی بیشترین کاهش سطح، به‌ترتیب برابر با ۱۲۸۱,۲ و ۱۱۳۰,۶۳ هکتار را در دوره‌های اول و دوم داشته است. سپس، طبقه پوشش جنگلی ۱۳۰۰,۴ و ۷۰۵,۳۵ هکتار کاهش و طبقه مناطق انسان‌ساخت ۹۳,۰۳ و ۷۸,۶۷ هکتار افزایش سطح داشته است. با توجه به نقشه‌های پتانسیل انتقال برای دوره سوم، ۱۰۲۹,۵۲ هکتار از پوشش جنگل و

۱۶۸۶,۹۲ هکتار از اراضی مرتعی پتانسیل انتقال به اراضی کشاورزی را خواهند داشت (Koranteng & Niedzwiecki, 2015, p.13). بنابراین، می‌توان با اعمال روش‌های صحیح مدیریتی از تخریب و تبدیل این مناطق جنگلی و مرتعی پیشگیری کرد. با مقایسه نقشهٔ پیش‌بینی شده سال ۲۰۱۶ با نقشهٔ طبقه‌بندشده آن می‌توان مشاهده کرد که مساحت اراضی مرتعی و اراضی کشاورزی در نقشهٔ پیش‌بینی شده اختلاف بیشتری دارد که دلیل آن را می‌توان در تغییرات زیاد این دو طبقهٔ دورهٔ اول (۲۰۰۷-۲۰۰۰) دانست؛ زیرا مدل با توجه به الگوی تغییرات رخداده طی دورهٔ اول تغییرات دورهٔ دوم را پیش‌بینی می‌کند. این الگوی تغییرات و پیش‌بینی در نقشهٔ پیش‌بینی سال ۲۰۲۵ نیز وجود دارد، زیرا طبقهٔ اراضی کشاورزی بیشترین افزایش و طبقهٔ اراضی مرتعی بیشترین کاهش را داشته است. در این تحقیق بیشترین افزایش مربوط به طبقهٔ اراضی کشاورزی است اما در تحقیقات رضوی (۲۰۱۴) و مگاهد و همکاران (۲۰۱۵) بیشترین افزایش مربوط به طبقهٔ مناطق انسان‌ساخت است که دلیل این تفاوت را می‌توان در موقعیت جغرافیایی، فاصلهٔ از مناطق شهری و مسائل اقتصادی دانست. با توجه به فاصلهٔ زیاد منطقهٔ مورد مطالعه از مناطق شهری و همچنین، تأثیر عوامل اقتصادی در معیشت مردمان، پوشش جنگلی و اراضی مرتعی پس از تخریب بیشترین پتانسیل را برای تبدیل به اراضی کشاورزی دارند اما در تحقیقات رضوی (۲۰۱۴) و مگاهد و همکاران (۲۰۱۵) پوشش جنگلی و اراضی مرتعی در حاشیهٔ مناطق شهری قرار دارند و این اراضی پس از تخریب به مناطق انسان‌ساخت تبدیل می‌شود، زیرا مسائل اقتصادی در این موارد نقش تعیین‌کننده دارد. مطابق با نتایج این تحقیق و تحقیقات قنبری و شتایی (۱۳۸۹)، و کورانتنگ و نایدزویکی (۲۰۱۵) رشد جمعیت و به دنبال آن توسعهٔ مناطق انسان‌ساخت از دلایل کاهش سطح پوشش جنگل و اراضی مرتعی به اراضی کشاورزی و مناطق انسان‌ساخت محسوب می‌شود. همچنین، نتایج شبکهٔ عصبی مصنوعی و زنجیرهٔ مارکوف در این تحقیق با نتایج تحقیقات طاهری و همکاران (۱۳۹۲)، وفایی و همکاران (۱۳۹۲)، غلامعلی‌فرد و همکاران (۱۳۹۳)، خوی و مورا یاما (۲۰۱۱)، رضوی (۲۰۱۴)، مگاهد و همکاران (۲۰۱۵)، وکورانتنگ و نایدزویکی (۲۰۱۵) همخوانی دارد. مطابق با نتایج قنبری و شتایی (۱۳۸۹)، تغییرات رخداده طی دو دورهٔ زمانی ۲۰۰۷-۲۰۰۰ و

۲۰۰۷-۲۰۱۶ نشان‌دهنده تحولات اجتماعی، عوامل اقتصادی و مشکلات معیشتی، مدیریت ضعیف منابع جنگلی و مرتعی در منطقه مورد مطالعه است. اجرای پروژه‌های احداث خطوط انتقال گاز، احداث تونل، عملیات تعریض جاده، همچنین تأمین سوخت روستاییان، چرای مفرط دام، آتش‌سوزی، تبدیل بی‌رویه پوشش جنگلی و اراضی مرتعی به اراضی کشاورزی و مناطق انسان‌ساخت از عوامل عمدۀ کاهش سطح پوشش جنگل و مرتع در منطقه مورد مطالعه محسوب می‌شود. دلیل کاهش بیشتر اراضی مرتعی نسبت به پوشش جنگلی در منطقه مورد مطالعه این است که اراضی مرتعی نسبت به پوشش جنگلی دسترسی بیشتری دارند و شرایط توپوگرافی آن‌ها برای تبدیل به اراضی کشاورزی مستعدتر است، اما گستره مناطق جنگلی در دامنه‌های با شیب زیاد است که باعث عدم دسترسی به این مناطق بهمنظور تبدیل به اراضی کشاورزی است. هرچند سوءمدیریت و نداشتن اطلاعات به‌روز و دقیق از سطح منابع جنگلی و مرتعی ارگان‌های مربوطه، زمینه را برای تخریب بیشتر این منابع ارزشمند فراهم می‌کند، نادیده‌گرفتن محدودیت‌ها و توان سرزمین، شدت مشکلات را افزایش داده است (کامیاب و همکاران، ۱۳۹۰). کاهش سطح پوشش جنگلی و اراضی مرتعی پیامدهای زیست‌محیطی مانند پدیده گرد و غبار، فرسایش شدید خاک، بروز سیل، ازبین‌رفتن آب‌های زیرزمینی و جز آن را به همراه دارد. بنابراین، افزایش سطح آگاهی مردم و توجه مدیران به حفظ منابع جنگلی و اراضی مرتعی و اعمال مدیریت مؤثر می‌تواند سبب کاهش این روند تخریب در منطقه مورد مطالعه شود. بی‌تردید، بدون استفاده از فناوری‌های نوین نمی‌توان برآورد دقیقی از روند تغییرات محیطی داشت. بنابراین، به کارگیری داده‌های سنجش از دور با قدرت تفکیک طیفی و مکانی بیشتر و روش‌های نوین مدل‌سازی به‌منظور شناسایی مناطق حساس و مستعد به تخریب می‌تواند ابزاری قدرتمند برای مدیران باشد. با توجه به روند تغییرات پوشش سرزمین در دوره‌های اول و دوم، نتایج این تحقیق می‌تواند اطلاعات مفیدی برای مدیران و ارگان‌های مرتبط فراهم کند تا با اعمال روش‌های مؤثر، چشم‌انداز مناسبی برای این منطقه طراحی کنند.

منابع و مأخذ

۱. آرخی، صالح (۱۳۹۴). آشکارسازی تغییرات پوشش / کاربری اراضی با پردازش شبکه‌گرای تصاویر ماهواره‌ای با استفاده از نرم‌افزار Idrisi Selva (مطالعه موردنی: منطقه آبدانان). فصلنامه علمی-پژوهشی اطلاعات جغرافیایی، دوره ۲۴، شماره ۹۵، صفحات ۵۱-۶۲.
۲. آرخی، صالح، و فتحیزاد، حسن (۱۳۹۳). ارزیابی کارایی چهار روش شبکه عصبی مصنوعی در تهیه نقشه پوشش / کاربری اراضی با استفاده از تصاویر ماهواره‌ای ETM+ (مطالعه موردنی: سه منطقه دویرج، مهران و سرابله). جغرافیا و توسعه، دوره ۴، شماره ۳۷، صفحات ۱۴۶-۱۳۳.
۳. پرما، روح‌الله، و شتایی، شعبان (۱۳۸۹). بررسی امکان تهیه نقشه‌های تنوع و تراکم تاج پوشش جنگل‌های زاگرس با استفاده از تصاویر سنجنده ETM+ (مطالعه موردنی جنگل‌های قلاچه استان کرمانشاه). مجله جنگل ایران، دوره ۲، شماره ۳، صفحات ۲۴۲-۲۳۱.
۴. پورخیاز، حمیدرضا، محمدیاری، فاطمه، اقدیر، حسین، و توکلی، مرتضی (۱۳۹۴). رویکرد آمایشی در مدل‌سازی تغییرات کاربری اراضی شهرستان بهبهان با به‌کارگیری تصاویر ماهواره‌ای چندزمانه‌ای. آمیش سرزمین، دوره ۷، شماره ۲، صفحات ۲۰۷-۱۸۷.
۵. درویش‌صفت، علی اصغر (۱۳۷۷). جزوء درسی سنجش از دور، دانشگاه تهران.
۶. زهره‌وندی، علی اصغر (۱۳۸۲). بررسی روند تغییرات و برآورد بنه با دو روش آماربرداری ترانسکت بر روی عکس‌های هوایی و ترانسکت زمینی در جنگل‌های قلاچه. پایان‌نامه کارشناسی ارشد، رشته جنگل‌داری، دانشگاه تهران.
۷. طاهری، محمد، غلامعلی‌فرد، مهدی، ریاحی بختیاری، علیرضا، و رحیم‌اوجلی، شاهین (۱۳۹۲). مدل‌سازی تغییرات پوشش سرزمین شهرستان تبریز با استفاده از شبکه عصبی مصنوعی و زنجیره مارکوف. پژوهش‌های جغرافیای طبیعی، دوره ۴۵، شماره ۴، صفحات ۱۲۱-۹۷.
۸. عزیزی قلاتی، سارا، رنگن، کاظم، تقی‌زاده، ایوب، و احمدی، شهرام (۱۳۹۲). مدل‌سازی تغییرات کاربری اراضی با استفاده از روش رگرسیون لجستیک در مدل LCM (پژوهش

- موردی: منطقه کوهمره سرخی استان فارس). فصلنامه علمی-پژوهشی تحقیقات جنگل و صنوبر ایران، دوره ۲۲، شماره ۴، صفحات ۵۹۶ - ۵۸۵.
۹. غلامعلی فرد، مهدی، جورابیان شوستری، شریف، آبکار، علی‌اکبر، و نعیمی، بابک (۱۳۹۳). مقایسه الگوریتم‌های رگرسیون لجستیک و شبکه عصبی مصنوعی در مدل‌سازی تجربی پتانسیل انتقال تغییر پوشش سرزمین سواحل استان مازندران. پژوهش‌های محیط زیست، دوره ۵، شماره ۹، صفحات ۱۷۶ - ۱۶۷.
۱۰. غلامعلی فرد، مهدی، میرزایی، محسن، و جورابیان شوستری، شریف (۱۳۹۳). مدل‌سازی تغییرات پوشش اراضی با استفاده از شبکه عصبی مصنوعی و زنجیره مارکوف (مطالعه موردی: سواحل میانی استان بوشهر). مجله کاربرد سنجش از دور و GIS در علوم منابع طبیعی، دوره ۵، شماره ۱، صفحات ۷۹ - ۶۵.
۱۱. فتاحی، محمد (۱۳۸۴). کتاب مدیریت جنگل‌های زاگرس. تهران: دانشگاه تهران.
۱۲. قنبری، فریبا، و شتایی، شعبان (۱۳۸۹). بررسی روند تغییرات سطح جنگل با استفاده از عکس‌های هوایی و تصاویر ASTER (مطالعه موردی: جنگل‌های حاشیه‌ای جنوب و جنوب غربی شهر گرگان). مجله پژوهش‌های علوم و فناوری چوب و جنگل، دوره ۱۷، شماره ۴، صفحات ۱-۱۸.
۱۳. کامیاب، حمیدرضا، سلمان ماهینی، عبدالرسول، حسینی، سیدمحسن، و غلامعلی فرد، مهدی (۱۳۹۰). کاربرد شبکه‌های عصبی مصنوعی در مدل‌سازی توسعه شهری (مطالعه موردی: شهر گرگان). مجله پژوهش‌های جغرافیای انسانی، دوره ۴۳، شماره ۷۶، صفحات ۹۹-۱۱۳.
۱۴. وفایی، ساسان، درویش صفت، علی‌اصغر، و پیر باوقار، مهتاب (۱۳۹۲). پایش و پیش‌بینی روند تغییرات مکانی کاربری اراضی با استفاده از مدل LCM (مطالعه موردی: منطقه مریوان). مجله جنگل ایران، دوره ۵، شماره ۳، صفحات ۳۳۶ - ۳۲۳.
15. Bakr, N., weindorf, D. C., Bahnassy, M. H, Marei, S. M., & El-Badawi, M.M. (2010). Monitoring land cover changes in a newly reclaimed area of Egypt using Multitemporal Landsat data. *Applied Geography*, 30(4), 592-605.
16. Eastman, R. J. (2006). *IDRISI Andes, guide to GIS and image processing*. Clark University, Worcester, 87-137.

17. Hu, X., & Weng, Q. (2009). Estimating impervious surfaces from medium spatial resolution imagery using the self-organizing map and multi-layer Perceptron Neural Networks. *Remote Sensing of Environment*, 113(10), 2089–2102.
18. Ji, C. Y. (2000). Land-use classification of remotely sensed data using Kohonen self organizing feature map Neural Networks. *Photogrammetric Engineering and Remote Sensing*, 66(12), 1451–1460.
19. Khoi, D., & Murayama, Y. (2011). Modeling deforestation using a neural Network-Maarkov Model. *Spatial Analysis and Modeling in Geographical Transformation Process*, 100(6), 169-190.
20. Kim, O. S. (2010). An Assessment of Deforestation models for Reducing Emission from Deforestation and Forest Degradation (REDD). *Transaction in GIS*, 14(2), 631-654.
21. Koranteng, A., & Niedzwiecki, T. Z. (2015). Modelling forest Loss and other land use change dynamics in Ashanti Region of Ghana. *Folia Forestalia Polonica*, 57(2), 96-111.
22. Kuplich, T. M. (2006). Classifying regenerating forest stages in Amazonia using remotely sensed images and neural network. *Forest Ecology and Management*, 234(6), 1-9.
23. Lambin, E. F. (1997). Modeling and monitoring land-cover change processes in tropical regions. *Progress in Physical Geography*, 21(6), 375–393.
24. McConnel, W. J., Sweeney, S. P., & Mulley, B. (2004). Physical and social access to land: Spatio-temporal patterns of agricultural expansion in Madagascar. *Agriculture, Ecosystems & Environment*. 10(1), 171-184.
25. Megahed, Y., Cabral, P., Silva, J., & Caetano, M. (2015). Land cover mapping analysis and urban growth modeling using Remote Sensing Techniques in Greater Cairo Region-Egypt. *ISPRS International Journal of Geo-Information*, 4(1), 1750-1769.
26. Nahuelhual, L., Carmona, A., Lara, A., Echeverría, C., & González, M. E. (2012). Land-cover change to forest plantations: proximate causes and implications for the landscape in South-central Chile. *Landscape and Urban Planning*, 107(1), 12-20.
27. Pelorosso, R., Chiesa, S. D., Tappeiner, U., Leone, A., & Rocchini, D. (2011). Stability analysis for defining management strategies in abandoned mountain landscapes of the Mediterranean basin. *Landscape and Urban Planning*, 103(5), 335-346.
28. Perez-Vega, A., Mas, J., & Ligmann-Zielinska, A. (2011). Comparing two approaches to land use/cover change modeling and their implication for the assessment of biodiversity loss in a deciduous tropical forest. *Environmental Modeling & Software*, 29(1), 11-23.
29. Pijanowski, B. C., Brown, D. G., Shellito, B. A., & Manik, G.A. (2002). Using Neural networks and GIS to forecast land use changes: a Land Transformation Model. *Computers Environment and Urban Systems*, 26(1), 553–575.
30. Razavi, B. S. (2014). Predicting the trend of land use change using Artificial Neural Network and Markov Chain Model (Case study: Kermanshah City). *Research Journal of Environmental and Earth Science*, 6(4), 215-226.

31. Schulz, J. J., Cayuela, L., Echeverria, C., Salas, J., & Rey Benayas, J. M. (2010). Monitoring land cover change of the dryland forest landscape of Central Chile (1975–2008). *Applied Geography*, 30(3), 436-447.
32. Stephenne, N., & Lambin, E. F. (2001). A dynamic simulation model of land-use changes in Sudano-sahelian countries of Africa (SALU). *Agriculture, Ecosystems and Environment*, 85(2), 154–161.
33. Vaclavik, T., & Rogan, J. (2009). Identifying trends in land use/land cover changes in the context of post socialist transformation in Central Europe: A case study of the greater Olomouc region, Czech Republic. *GIS science & Remote Sensing*, 46(1), 54–76.
34. Verburg, P. H., Schot, P., Dijst, M., & Veldkamp, A. (2004). Land use change modelling: current practice and research priorities. *GeoJournal*, 61(4), 1-23.
35. Yuan, F., Sawaya, K. E., Loeffelholz, B. C., & Bauer, M. E. (2005). Land cover classification and change analysis of the Twin Cities (Minnesota) Metropolitan Area by Multi-temporal Landsat remote sensing. *Remote Sensing of Environment*, 98(2), 317-328.